

Стабилизация оптических пузырей вблизи оси винтового световода

В. П. Рубан*

Институт теоретической физики им. Л.Д. Ландау РАН, 142432, Черногловка, Россия

(Дата: 25 июня 2024 г.)

Численно показано, что в световоде с винтовой симметрией связанные нелинейные уравнения Шредингера, описывающие взаимодействие левой и правой круговых поляризаций параксиальной оптической волны в дефокусирующей Керровской среде с аномальной дисперсией, имеют устойчивые решения в виде стационарно вращающихся продолговатых пузырей с присоединенными на концах несколькими оптическими вихрями. Пузырь представляет собой произвольно длинную квазцилиндрическую трехмерную полость в первой компоненте, заполненную второй компонентой. На каждом из двух концов пузыря состыкованы две стационарные двумерные конфигурации, причем в одной из них присутствует только первая компонента с разделенными вихрями, а в другой — имеется один кратный вихрь с заполненной сердцевинной. Поперечный профиль пузыря определяется формой сечения световода, шагом винта, количеством вихрей и фоновой интенсивностью первой компоненты, но не количеством второй компоненты.

Введение. При изучении нелинейных волн большой интерес представляют долгоживущие когерентные структуры, в частности — солитоны и вихри (см., например, [1–16], и ссылки там). Время от времени исследователи получают в лабораторных и численных экспериментах всё новые типы подобных объектов. Особенно богаты в этом отношении многокомпонентные волновые системы, и оптика — самый очевидный тому пример, так как свет может иметь две независимые поляризации. Поэтому есть смысл рассматривать оптическую волну в “нестандартных” условиях в надежде обнаружить новые эффекты. Подтверждением успешности такого подхода является данная работа — далее будет показано, что под влиянием пространственной неоднородности специального вида нелинейное взаимодействие между поляризациями может сформировать ранее неизвестные волновые структуры.

Предметом нашего внимания будет квазимонохроматическая слабонелинейная волна, распространяющаяся параксиально в широком световоде некруглого сечения с винтовой симметрией. Такой выбор мотивирован формальной аналогией между нелинейной оптикой и разреженными бозе-конденсатами. Как известно, параксиальная оптика в локально изотропной Керровской среде с учетом двух круговых поляризаций света описывается парой связанных нелинейных уравнений Шредингера (НУШ) [17]. В случае дефокусирующей нелинейности и аномальной дисперсии уравнения по форме совпадают с уравнениями Гросса-Питаевского для бинарного бозе-конденсата холодных атомов в режиме разделения фаз [18–24]. В двухкомпонентной системе возможны доменные стенки, разделяющие области с правой и левой круговыми поляризациями [25–31]. Интересные трехмерные структуры получаются при сочетании доменных сте-

нок и квантованных вихрей (см. [32–36] и ссылки там). В бозе-конденсатах стабильные вихревые структуры поддерживаются вращением потенциала ловушки. В оптике роль эволюционной переменной вместо времени t играет (перемасштабированная) координата ζ вдоль направления распространения света, а аналогом вращения выступает винтовая симметрия световода [37], когда профиль диэлектрической проницаемости зависит от двух комбинаций переменных:

$$\begin{aligned}\tilde{x} &= x \cos \Omega \zeta + y \sin \Omega \zeta, \\ \tilde{y} &= y \cos \Omega \zeta - x \sin \Omega \zeta.\end{aligned}$$

В этом случае аналогом временного периода вращения ловушки оказывается шаг винта $S = 2\pi/\Omega$. Роль третьей “пространственной” координаты в оптике играет “запаздывающее” время $\tau = t - \zeta/v_{gr}$. Существенным практическим отличием между бозе-конденсатами и световыми пучками является трансляционная симметрия вдоль этой третьей координаты в оптическом случае. Поэтому продольно делокализованные решения уравнений не актуальны для физики холодных газов, но прямо применимы к оптике.

В недавней публикации [37] были численно получены некоторые квазистационарные конфигурации бинарных оптических пучков, в которых обе компоненты световой волны выступают как бы “на равных правах”. В данной работе найдены устойчивые стационарные решения нового типа — произвольно длинные световые “пузыри”, удерживаемые вблизи оси винтового световода с помощью нескольких квантованных вихрей. Подчеркнем, что необходимо наличие двух или более вихрей. Один вихрь при увеличении размеров пузыря не способен удержать его вблизи оси, как было отмечено в работе [35]. Теоретическая интерпретация основных свойств новых трехмерных структур дана на основе анализа энергетических зависимостей для строго двумерных решений с содержанием n второй “световой жидкости” в присутствии Q штук вихрей. Можно сразу сказать, что явление формирования квазиодномерных пузырей подобно образованию

*Electronic address: ruban@itp.ac.ru

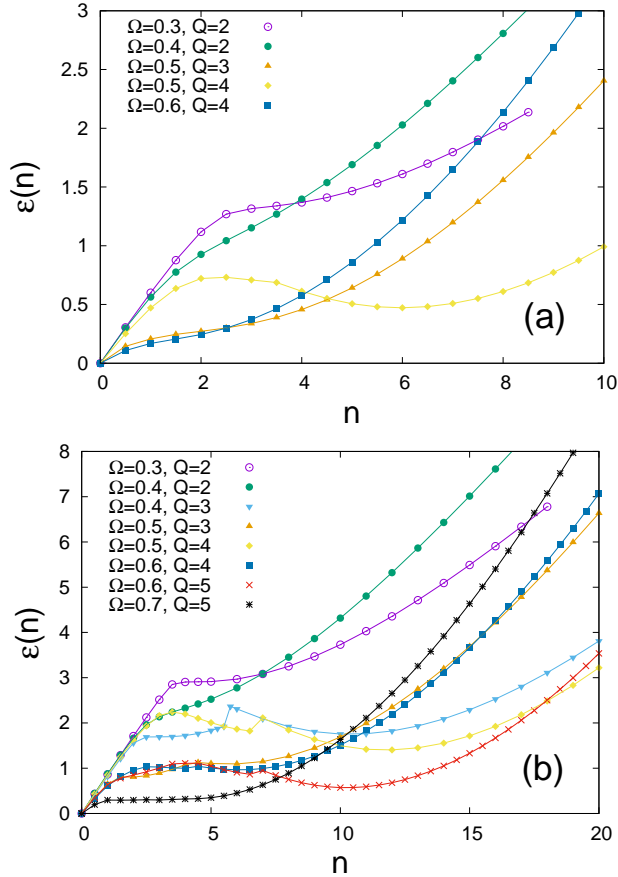


Рис. 1: Энергетические зависимости для различных скоростей вращения и числа вихрей при значениях суммарной общей плотности $n_+ = (n_1 + n)$ на единицу длины: а) $n_+ = 60.0$; б) $n_+ = 100.0$.

конденсированной фазы, граничащей с вакуумом, для воображаемого вещества с плотностью энергии $\varepsilon(n)$, если при некоторой конечной плотности n_0 давление $p = n^2 d(\varepsilon(n)/n)/dn$ обращается в ноль. Другими словами, функция $\varepsilon(n)/n$ имеет нетривиальный минимум (это происходит в точке, где график $\varepsilon(n)$ касается прямой, проведенной из начала координат). Само значение n_0 сильно зависит от “скорости вращения” Ω , количества вихрей Q , и от соответствующей “полной плотности” $n_1 + n$ (см. примеры графиков на рисунке 1). Длина же отрезка конденсированной фазы может быть произвольно большой.

Уравнения и численный метод. Как и в предыдущих работах [35, 37], мы рассматриваем прозрачную оптическую среду с дефокусирующей Керровской нелинейностью и с законом дисперсии линейных волн $k(\omega) = \sqrt{\varepsilon(\omega)}\omega/c$, предполагая наличие диапазона частот с аномальной дисперсией $k''(\omega) < 0$. Речь идет о низкочастотном крае окна прозрачности (в реальных веществах это часто инфракрасная область спектра; см., например, [38, 39]). В такой ситуации

применимо известное уравнение для векторной огибающей слабонелинейной квазимонохроматической световой волны (с несущей частотой ω_0) в парааксиальном приближении:

$$2k_0[-i\partial_\zeta - ik'_0\partial_t + k''_0\partial_t^2/2]\mathbf{E} - \Delta_\perp\mathbf{E} \approx \frac{k_0^2}{\varepsilon(\omega_0)}\left[\tilde{\varepsilon}(x, y, \zeta)\mathbf{E} + \alpha|\mathbf{E}|^2\mathbf{E} + \beta(\mathbf{E} \cdot \mathbf{E})\mathbf{E}^*\right]. \quad (1)$$

Здесь $k'_0 = 1/v_{gr}$ — обратная групповая скорость света в среде, k''_0 — отрицательный коэффициент хроматической дисперсии, $\tilde{\varepsilon}(x, y, \zeta)$ — малая неоднородность диэлектрической проницаемости на несущей частоте, $\alpha(\omega_0)$ и $\beta(\omega_0)$ — отрицательные нелинейные коэффициенты. Вводится новая переменная $\tau = t - \zeta/v_{gr}$ — “запаздывающее” время. Амплитуда электрического поля выражается в терминах медленных амплитуд $A_{1,2}(x, y, \tau, \zeta)$ левой и правой круговых поляризаций,

$$\mathbf{E} \approx [(\mathbf{e}_x + i\mathbf{e}_y)A_1 + (\mathbf{e}_x - i\mathbf{e}_y)A_2]/\sqrt{2}, \quad (2)$$

и тогда световая волна описывается парой связанных НУШ [17], аналогично бинарному бозе-конденсату холодных атомов (при замене переменных $\zeta \rightarrow t, \tau \rightarrow z$). После перемасштабирования получается безразмерная система

$$i\frac{\partial A_{1,2}}{\partial \zeta} = \left[-\frac{1}{2}\Delta + U(x, y, \zeta) + |A_{1,2}|^2 + g|A_{2,1}|^2\right]A_{1,2}, \quad (3)$$

где $\Delta = \partial_x^2 + \partial_y^2 + \partial_\tau^2$ — трехмерный оператор Лапласа в “координатном” пространстве $\mathbf{r} = (x, y, \tau)$. Параметр перекрестной фазовой модуляции $g = 1 + 2\beta/\alpha$. В предположении быстрого нелинейного отклика он равен 2. Существенно, что нелинейное взаимодействие между двумя компонентами сводится к простой некогерентной связи посредством коэффициента g и сохраняет количество каждой компоненты $N_{1,2} = \int |A_{1,2}|^2 dx dy d\tau$. Таким образом, модель описывает две квантовые сжимаемые жидкости с плотностями $I_{1,2} = |A_{1,2}|^2$ и скоростями $\mathbf{v}_{1,2} = \nabla \text{Arg}(A_{1,2})$.

Как и в недавней работе [37], здесь мы сосредоточимся на винтовых волноводах с плоским дном и резкими стенками. Такие волноводы должно быть легко реализовать экспериментально, особенно если Керровская среда — жидкая. Но для удобства численного моделирования мы будем аппроксимировать соответствующую яму с вертикальными стенками выражением

$$U = C[1 - \exp(-[(\tilde{x}^2 + \kappa^2\tilde{y}^2)/36]^5)], \quad (4)$$

с большим параметром $C = 42$ и поперечной анизотропией $\kappa^2 = (1 + 0.3)/(1 - 0.3) = 13/7$. Анизотропия необходима для воздействия вращения.

Принципиально важно, что уравнения (3) представляют собой гамильтонову систему

$$i\partial A_{1,2}/\partial \zeta = \delta\mathcal{H}/\delta A_{1,2}^*.$$

Соответствующий неавтономный гамильтониан есть

$$\begin{aligned} \mathcal{H} &= \frac{1}{2} \int (|\nabla A_1|^2 + |\nabla A_2|^2) dx dy d\tau \\ &+ \int V(x, y, \zeta) (|A_1|^2 + |A_2|^2) dx dy d\tau \\ &+ \frac{1}{2} \int (|A_1|^4 + |A_2|^4 + 2g|A_1|^2|A_2|^2) dx dy d\tau. \end{aligned} \quad (5)$$

Этот функционал не сохраняется в процессе эволюции. Однако, поскольку во вращающейся системе координат мы имеем автономную систему, интегралом движения является функционал

$$\mathcal{H}_\Omega = \mathcal{H} - \Omega \int [A^\dagger (iy\partial_x - ix\partial_y) A] dx dy d\tau, \quad (6)$$

где $A = (A_1, A_2)^T$ — двухкомпонентный столбец.

В основе данной работы лежит тот факт, что стационарно вращающиеся устойчивые решения системы (3) являются “точками локального минимума” для функционала \mathcal{H}_Ω при фиксированных N_1 и N_2 .

Для численного моделирования уравнений (3) использовался стандартный метод (Split-Step Fourier Method) второго порядка точности по эволюционной переменной ζ в исходной (невращающейся) системе координат. Вычислительная область по переменным x, y, τ имела форму прямоугольного параллелепипеда с размерами $6\pi \times 6\pi \times 12\pi$, с периодическими граничными условиями. Но, поскольку потенциальная яма достаточно глубока, функции $A_{1,2}$ быстро спадают практически до нуля в поперечных направлениях, так что влияние поперечных границ пренебрежимо мало.

Точность вычислений контролировалась сохранением интегралов движения до 4–6 десятичных знаков на интервале $0 < \zeta < 600$ (что практически составляет длину распространения в несколько десятков метров при выборе поперечного масштаба порядка нескольких десятков длин волн).

Для численного приготовления близкого к стационару начального состояния применялась диссипативная процедура, состоящая на каждом цикле из двух шагов. Первый шаг соответствовал чисто градиентной диссипативной динамике

$$-\partial A_{1,2} / \partial \eta = \delta \mathcal{H}_\Omega / \delta A_{1,2}^*$$

на малом интервале вспомогательной переменной η , а на втором шаге каждая функция $A_{1,2}(x, y, \tau)$ домножалась на соответствующий множитель $f_{1,2}$ с целью удержания заданных значений $N_{1,2}$. Интервал переменной η составлял несколько десятков, так что в результате все жесткие степени свободы были эффективно погашены и система оказывалась недалеко от минимума \mathcal{H}_Ω .

Результаты. Сначала в режиме свободного поиска была проведена серия предварительных численных экспериментов с начальными условиями в виде слегка

возмущенного заполненного кратного вихря. В зависимости от параметров, последующая динамика оказалась существенно разной. В некоторых случаях наблюдались лишь малые колебания около устойчивого продольно однородного состояния. Но при небольших заполнениях в системе развивалась неустойчивость, в результате которой происходило перераспределение второй компоненты вдоль оси пучка и образовывались характерные структуры в виде пузырей с несколькими присоединенными “опустевшими” однократными продольными вихрями (очень похожие на те, что показаны далее на рисунках 2 и 3, но не настолько же ровные и стационарные).

Для интерпретации результатов этой предварительной серии понадобилось более детальное изучение чисто двумерных стационарных состояний. Чтобы найти такие состояния с хорошей точностью, интервал переменной η в диссипативной процедуре составлял типично несколько сотен, а иногда доходил до тысяч. Длительная релаксация имела место в промежуточном по переменной $n = \int I_2 dx dy$ режиме: между конфигурациями со всеми отдельно расположенными почти пустыми вихрями — с одной стороны, и одним заполненным кратным вихрем при достаточно больших n — с другой стороны. В этом промежуточном режиме только часть вихрей объединялась в заполненный вихрь с меньшей кратностью, а остальные вихри “предпочитали” располагаться каждый отдельно (и иногда — несимметрично). Наличие нескольких локальных минимумов функционала энергии со своими областями притяжения могло приводить к изломам или даже скачкам на соответствующих графиках энергии как функции n . По счастью, для наших целей нет нужды вникать во все эти сложности, поскольку промежуточная область заведомо неустойчива по отношению к трехмерным возмущениям. Практически важно наличие устойчивых решений в области малых n и в области достаточно больших n .

На рисунке 1 представлены примеры зависимостей энергии двумерных решений от n для разных наборов остальных параметров, включая сумму $n_+ = (n_1 + n)$. В каждом случае из полной энергии вычтено ее значение при $n = 0$, то есть в отсутствие второй компоненты. Строго говоря, интерес представляют последовательности состояний с фиксированным значением химического потенциала создающей фон первой компоненты. Но практически это условие близко соответствует равенству $(n_1 + n) = \text{const}$ (с точностью около нескольких процентов). Для качественного анализа за лучшей точности и не требуется.

На большинстве из представленных на рисунке 1 графиков обращает на себя внимание наличие нетривиального минимума у отношения $\varepsilon(n)/n$. Если рассматривать $\varepsilon(n)$ как уравнение состояния некоторой фиктивной среды, связывающее плотность числа ее частиц и плотность внутренней энергии, то указанный минимум отвечает нулевому давлению. При слегка больших плотностях имеем положительное давлe-

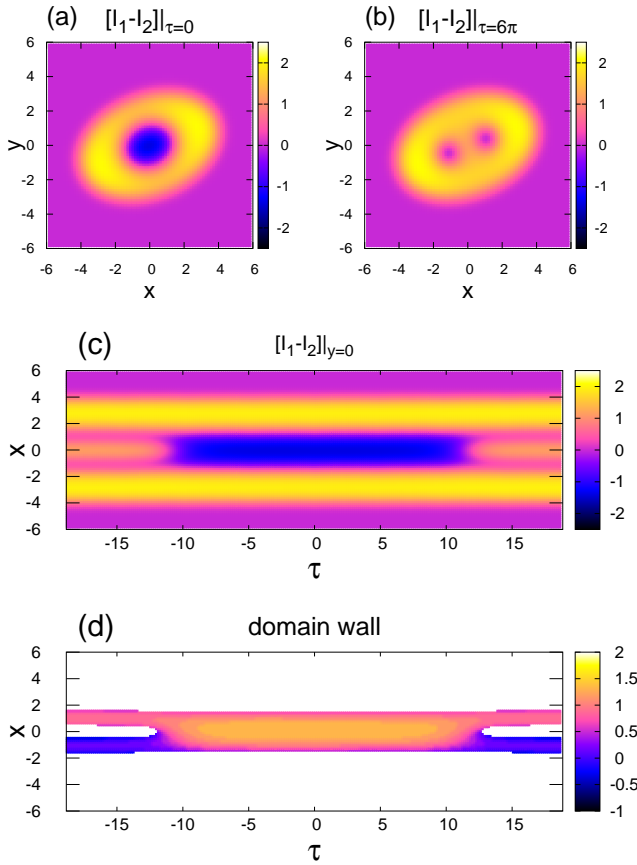


Рис. 2: Численный пример пузыря с двумя вихрями при “частоте вращения” $\Omega = 0.4$ и среднем по переменной τ заполнении $\langle n_+ \rangle = 60$, на дистанции $\zeta = 590$. На панелях показаны: а) поперечное сечение светового пучка через пузырь; б) поперечное сечение через пустые вихри; в) продольное сечение плоскостью $y = 0$; д) общий вид сбоку на условную поверхность пузыря и присоединенные к нему вихревые нити (здесь для эффекта трехмерности цвет отмеченных точек числовой решетки, находящихся вблизи середины доменной стенки либо в сердцевине вихря, соответствует координате y , которая перпендикулярна плоскости рисунка).

ние, а при меньших — отрицательное (то есть натяжение). Поэтому однородные по переменной τ состояния в некоторой примыкающей области значений n устойчивы. Но если в среде сделать “разрывы”, то она соберется в одномерные капли, соседствующие с “вакуумом”. С точки зрения нашей трехмерной системы каждая такая капля представляет собой продолговатый пузырь внутри первой компоненты, заполненный второй компонентой.

Прямое численное моделирование с подходящими начальными состояниями подтвердило существование и устойчивость подобных структур. Два первых примера (для пузырей с двумя и с тремя вихрями) приведены на рисунках 2 и 3. Там на панелях (а), (б) и

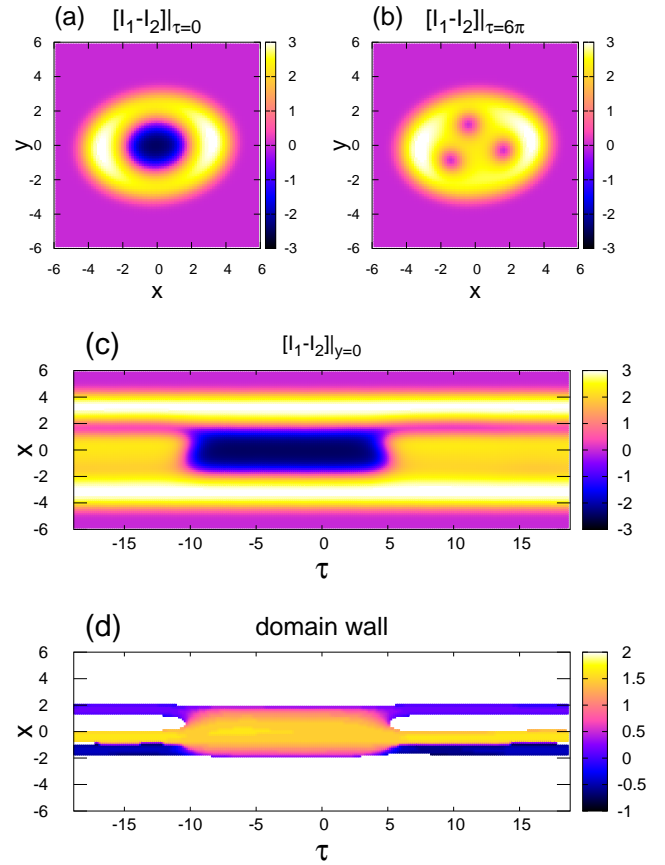


Рис. 3: Пример пузыря с тремя вихрями при $\Omega = 0.4$, $\langle n_+ \rangle = 100$, $\zeta = 550$.

(с) цветом показана разность интенсивностей первой и второй компонент волны в трех различных сечениях светового пучка. Поскольку имеет место режим разделения фаз (то есть произведение $I_1 I_2$ пренебрежимо мало почти везде, за исключением относительно узкой переходной области — доменной стенки), то получается, что области с положительным значением разности (светлые тона) заполнены почти исключительно первой компонентой, а области с отрицательным значением заполнены в основном второй компонентой (темные тона). Поэтому нет необходимости представлять на рисунках каждое поле интенсивности по отдельности. Только на ширине доменной стенки разность $[I_1 - I_2]$ не дает полной информации, но для общего понимания картины это не столь важно. На панелях (д) показан вид со стороны на доменную стенку, являющуюся границей пузыря, и на присоединенные к нему вихревые нити. Еще два примера представлены на рисунках 4 и 5 — для пузырей с четырьмя и с пятью вихрями. Поскольку в качественном отношении все пузыри устроены одинаково, то на этих рисунках показаны только поперечные сечения. Стоит обратить внимание, что при большом числе вихрей сечение пу-

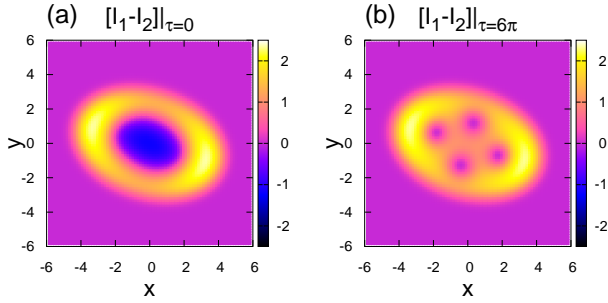


Рис. 4: Поперечные сечения светового пучка для пузыря с четырьмя вихрями при $\Omega = 0.5$, $\langle n_+ \rangle = 60$, $\zeta = 590$.

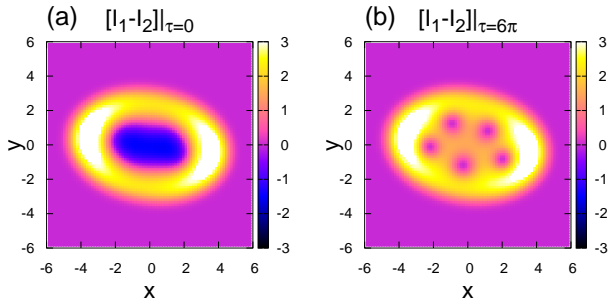


Рис. 5: Поперечные сечения светового пучка для пузыря с пятью вихрями при $\Omega = 0.6$, $\langle n_+ \rangle = 100$, $\zeta = 560$.

зырей “приплюснутое”, а пустые вихри расположены скорее вдоль эллипса, а не окружности.

Во всех приведенных выше примерах состояния не были строго стационарными, поскольку после подготовительной диссипативной процедуры все еще оставались небольшие возмущения, которые, впрочем, не усиливались на больших дистанциях распространения и тем самым только подтвердили устойчивый характер найденных структур.

Надо сказать, что при некоторых значениях параметров двумерная система пустых вихрей оказывается неустойчивой — вихрям не хватает ширины волновода, чтобы разместиться, тогда как заполненный вихрь соответствующей кратности устроен более компактно и существует в широком диапазоне переменной n (например, при $\Omega = 0.4$, $Q = 3$, $n_+ = 60$; поэтому соответствующего графика нет на рисунке 1а). В таких случаях “недозаполненный” трехмерный вихрь сначала эволюционирует к образованию пузыря, а затем, если опустевшие участки вихревых нитей оказываются достаточно длинными, они постепенно приближаются к стенке волновода и перезамыкаются с ней. Через образовавшиеся каналы вторая компонента уходит на поверхность пучка. В конце концов вся конструкция разрушается. Соответствующий пример приведен на рисунке 6. Другой возможный сценарий

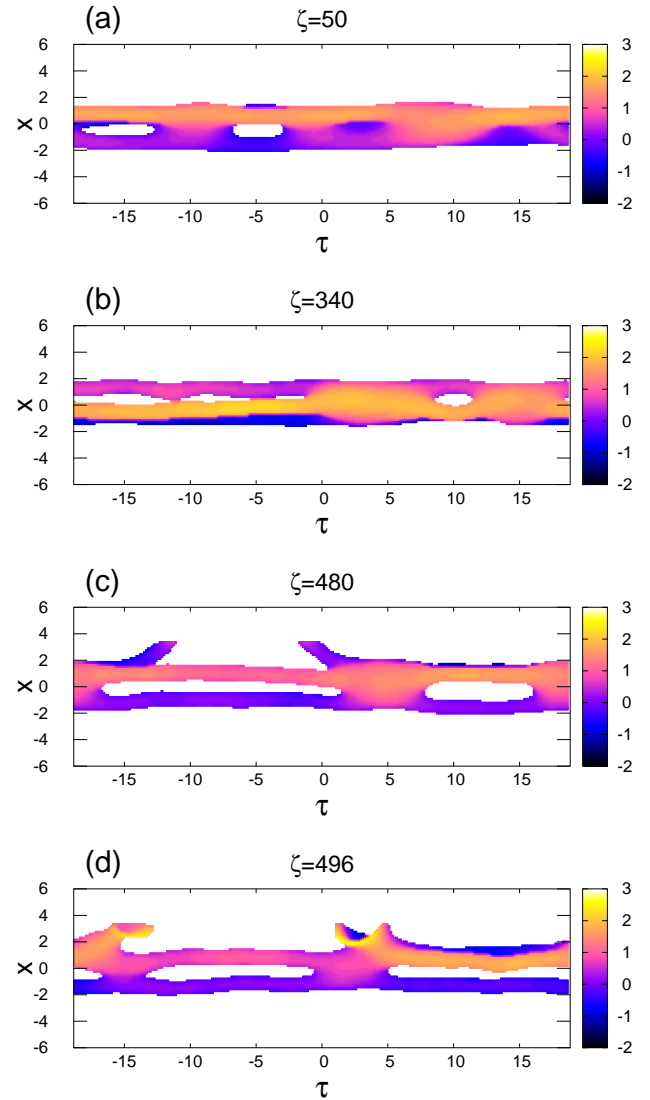


Рис. 6: Пример эволюции мало заполненного тройного вихря при таких значениях параметров ($\Omega = 0.4$, $\langle n_+ \rangle = 60$), когда соответствующая двумерная система не имеет стационарного решения с $n = 0$. Основные этапы: а) начало формирования пузырей; б) появление достаточно длинного участка с незаполненными вихревыми нитями; в) пересоединение одной из нитей со стенкой волновода (сама стенка не показана, поэтому нить выглядит разорванной); д) выход второй компоненты из пузыря на поверхность светового пучка.

развития событий — когда сам пузырь становится локально неустойчивым по отношению к поперечным смещениям и прорывается к стенке волновода (не показано).

Заключение. Таким образом, численное моделирование показало, что вращение, создаваемое винтовым световодом, приводит к глубоким изменениям в динамике оптической волны. В частности, оно делает

теоретически возможным существование структур нового типа. Такие структуры существенно пополняют “коллекцию” известных трехмерных солитонов [2]. На данном этапе эти результаты пока что — чисто умозрительные, хотя они и получены в рамках фундаментальной модели (1). Необходима дальнейшая работа как со стороны теории — в направлении получения аналитических оценок для $\varepsilon(n)$ и т. п., так и со стороны возможного будущего эксперимента — в на-

правлении подбора обладающих нужными свойствами материалов. Сейчас трудно предвидеть, насколько серьезные технические трудности могут встретиться на пути реализации подобного эксперимента.

Финансирование работы. Работа выполнена в рамках госзадания по теме FFWR-2024-0013.

Конфликт интересов. Автор заявляет об отсутствии конфликта интересов.

-
- [1] Y. Kivshar and G. P. Agrawal, *Optical Solitons: From Fibers to Photonic Crystals*, 1st ed., Academic Press, California, USA (2003).
- [2] B. A. Malomed, *Multidimensional Solitons*, AIP Publishing (online), Melville, N. Y. (2022), <https://doi.org/10.1063/9780735425118>
- [3] F. Baronio, S. Wabnitz, and Yu. Kodama, *Phys. Rev. Lett.* **116**, 173901 (2016).
- [4] P. G. Kevrekidis, D. J. Frantzeskakis, and R. Carretero-González, *The Defocusing Nonlinear Schrödinger Equation: From Dark Solitons to Vortices and Vortex Rings*, SIAM, Philadelphia (2015).
- [5] V. N. Serkin and A. Hasegawa, *JETP Lett.* **72**, 89 (2000).
- [6] С. К. Турицын, Н. Н. Розанов, И. А. Яруткина, А. Е. Беднякова, С. В. Фёдоров, О. В. Штырина, М. П. Федорук, *УФН* **186**, 713 (2016).
- [7] Н. А. Веретенков, Н. Н. Розанов, С. В. Федоров, *УФН* **192**, 143 (2022).
- [8] S. Raghavan and G. P. Agrawal, *Opt. Comm.* **180**, 377 (2000).
- [9] B. A. Malomed, D. Mihalache, F. Wise, and L. Torner, *J. Opt. B* **7**, R53 (2005).
- [10] W. H. Renninger and F. W. Wise, *Nat. Commun.* **4**, 1719 (2013).
- [11] F. Eilenberger, K. Prater, S. Minardi, R. Geiss, U. Röpke, J. Kobelke, K. Schuster, H. Bartelt, S. Nolte, A. Tünnermann, and T. Pertsch, *Phys. Rev. X* **3**, 041031 (2013).
- [12] O. V. Shtyrina, M. P. Fedoruk, Y. S. Kivshar, and S. K. Turitsyn, *Phys. Rev. A* **97**, 013841 (2018).
- [13] S. V. Sazonov, A. A. Kalinovich, M. V. Komissarova, and I. G. Zakharova, *Phys. Rev. A* **100**, 033835 (2019).
- [14] Е. Д. Залозная, А. Е. Дормидонов, В. О. Компанец, С. В. Чекалин, В. П. Кандидов, *Письма в ЖЭТФ* **113**, 817 (2021).
- [15] P. Parra-Rivas, Y. Sun, and S. Wabnitz, *Opt. Comm.* **546**, 129749 (2023).
- [16] В. П. Рубан, *Письма в ЖЭТФ* **119**, 579 (2024).
- [17] А. Л. Берхоер, В. Е. Захаров, *ЖЭТФ* **58**, 903 (1970).
- [18] Tin-Lun Ho and V. B. Shenoy, *Phys. Rev. Lett.* **77**, 3276 (1996).
- [19] H. Pu and N. P. Bigelow, *Phys. Rev. Lett.* **80**, 1130 (1998).
- [20] B. P. Anderson, P. C. Haljan, C. E. Wieman, and E. A. Cornell, *Phys. Rev. Lett.* **85**, 2857 (2000).
- [21] S. Coen and M. Haelterman, *Phys. Rev. Lett.* **87**, 140401 (2001).
- [22] G. Modugno, M. Modugno, F. Riboli, G. Roati, and M. Inguscio, *Phys. Rev. Lett.* **89**, 190404 (2002).
- [23] E. Timmermans, *Phys. Rev. Lett.* **81**, 5718 (1998).
- [24] P. Ao and S. T. Chui, *Phys. Rev. A* **58**, 4836 (1998).
- [25] M. Haelterman and A. P. Sheppard, *Phys. Rev. E* **49**, 3389 (1994).
- [26] M. Haelterman and A. P. Sheppard, *Phys. Rev. E* **49**, 4512 (1994).
- [27] A. P. Sheppard and M. Haelterman, *Opt. Lett.* **19**, 859 (1994).
- [28] Yu. S. Kivshar and B. Luther-Davies, *Phys. Rep.* **298**, 81 (1998).
- [29] N. Dror, B. A. Malomed, and J. Zeng, *Phys. Rev. E* **84**, 046602 (2011).
- [30] A. H. Carlsson, J. N. Malmberg, D. Anderson, M. Lisak, E. A. Ostrovskaya, T. J. Alexander, and Yu. S. Kivshar, *Opt. Lett.* **25**, 660 (2000).
- [31] A. S. Desyatnikov, L. Torner, and Yu. S. Kivshar, *Progress in Optics* **47**, 291 (2005).
- [32] В. П. Рубан, *Письма в ЖЭТФ* **113**, 539 (2021).
- [33] В. П. Рубан, *ЖЭТФ* **160**, 912 (2021).
- [34] В. П. Рубан, *Письма в ЖЭТФ* **116**, 324 (2022).
- [35] В. П. Рубан, *Письма в ЖЭТФ* **117**, 292 (2023).
- [36] В. П. Рубан, *Письма в ЖЭТФ* **117**, 590 (2023).
- [37] В. П. Рубан, *ЖЭТФ* **164**, 863 (2023).
- [38] X. Liu, B. Zhou, H. Guo, and M. Bache, *Opt. Lett.* **40**, 3798 (2015).
- [39] X. Liu and M. Bache, *Opt. Lett.* **40**, 4257 (2015).